

## 宇航压力容器的概率断裂分析

秦子增

**摘要** 本文根据概率断裂理论,分析了某宇航压力容器的可靠性。某典型的贮存试验容器,生产后在焊缝处出现许多裂纹。按概率断裂理论,这个容器的可靠度由下式计算:

$$R=1-P_f=1-P(a>a_0)=1-\int_{-\infty}^{+\infty} f(a) da \int_0^a \phi(a_0) da_0$$

这里 $R, P_f$ 分别是可靠度和破坏概率, $f(a), \phi(a_0)$ 分别是裂纹尺寸和临界裂纹尺寸的概率密度函数。

通过对165个断裂韧性子样数据的分析表明:断裂韧性 $K_0$ 服从正态分布,而裂纹尺寸以第二类指数分布拟合较合适,分析中断裂评定按 $K$ 准则。可靠度的计算采用了Monte Carlo法。计算结果表明:模拟次数 $N=5000$ 次,即可得到令人满意的精度。

最后,对计算结果做了讨论。

### 一、引言

宇航压力容器多是焊接容器,而焊接结构经常存在焊接缺陷或裂纹。评定这些缺陷或裂纹对强度的影响,先前采用断裂力学理论。但是,实际工程结构所受的外力、缺陷尺寸和材料性能常常具有随机性,而断裂力学在分析工程断裂问题时,均视其为确定量,这使它的准确性大大降低。如何估计这种不确定因素和偏差的影响?概率断裂理论提供了强有力的工具。根据该理论,容器可靠度 $R$ 或破坏概率 $p_f$  ( $p_f=1-R$ )采用下式计算:

$$P_f=P(a>a_0)=\int_{-\infty}^{+\infty} f(a) da \int_0^a \phi(a_0) da_0 \quad (1)$$

其中 $f(a), \phi(a_0)$ 分别是裂纹尺寸 $a$ 、临界裂纹尺寸 $a_0$ 的概率密度函数。根据165个子样的统计结果,容器材料断裂韧性 $K_0$ 服从正态分布;缺陷尺寸 $a$ 服从指数分布。应用Monte Carlo法,可得(1)式的数值解。

\* 本文曾在一九八五年第四届全国断裂力学会上宣读,刊用前对原文做了简单的修改。

1986年1月2日收到。

## 二、断裂判据及原始数据

某宇航容器是焊接结构,在焊缝处常出现裂纹等缺陷。为此,以表面裂纹为本文的分析模型。表面裂纹的形式应力强度因子 $K_1$ 以下式计算:

$$K_1 = M_k M_p \sqrt{\pi a / \phi_0} \quad (2)$$

其中  $M_k$  为形状修正系数,采用Neman-Raju<sup>[1]</sup>公式计算;  $M_p$  是基于裂纹张开位移  $\delta$  等效的塑性修正系数,计算式为<sup>[2]</sup>:

$$M_p = \sqrt{\frac{\sigma_s}{\sigma} \arccos \sqrt{1 - \left(\frac{\sigma}{\sigma_s}\right)^2}} \quad (3)$$

断裂判据:  $K_1 \geq K_c$  或  $a \geq a_c$  容器断裂。原始数据见表1。

表1

LD10CS焊缝 处常规性能	强度限 $\sigma_b = 28 \text{ kg/mm}^2$	屈服限 $\sigma_s = 19.4 \text{ kg/mm}^2$	弹性模量 $E = 7000 \text{ kg/mm}^2$	泊桑比 $\nu = 0.3$
焊缝处的工作应力: $\sigma = 16.8 \text{ kg/mm}^2$				
容器壁厚: $t = 5 \text{ mm}$				

## 三、参数的统计特性

1. 将资料[3][4]的165个试件进行统计分析,并把  $t=6 \text{ mm}$  (焊接试件),  $t=5 \text{ mm}$  (母材) 的  $K_c$  值画出直方块图,见图1;并点入正态概率坐标纸中,如图2示,数据点

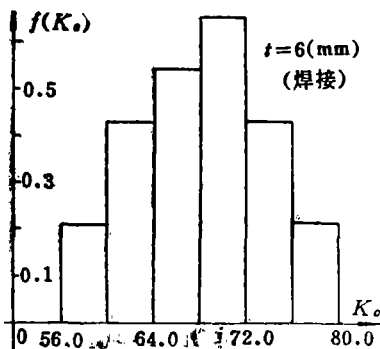
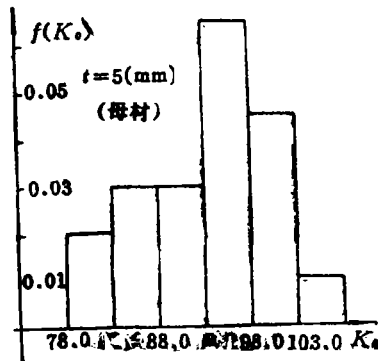


图1-a  $K_c$ 直方块图 (焊接)



1-b  $K_c$ 直方块图 (母材)

成一直线,可见,它们服从正态分布。用 $\chi^2$ 检验或柯尔莫哥洛夫检验,再次表明, $K_c$ 服从正态分布(结果见表2)。即 $K_c$ 的概率密度函数为

$$\phi(K_c) = \frac{1}{\sqrt{2\pi}\sigma_{K_c}} \exp\left[-\frac{1}{2}\left(\frac{K_c - \mu_{K_c}}{\sigma_{K_c}}\right)^2\right] \quad (4)$$

其中  $K_c$  的数学期望  $\mu_{K_c} = 72.45$ , 标准差  $\sigma_{K_c} = 7.01$  这和文献[5][6]所提供的结论

( $K_c$ 大多数是正态分布或对数正态分布)是一致的。

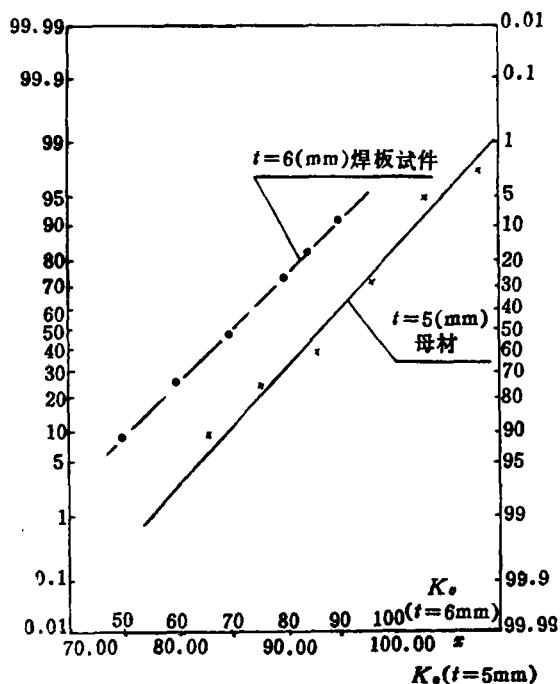


图2 在正态概率坐标纸上的 $K_c$ 分布点

表2 LD10CS铝合金 $K_c$ 的统计特性 (3.8\*属900×1100宽板, 其他为窄板)

统计数据 板厚(mm)	项目	均值 $\mu_{Kc}$	均方差 $\sigma_{Kc}$	变差系数	样本数	检验方法	备注 (统计量 $V, D_n$ )
		kg/mm <sup>3/2</sup>	kg/mm <sup>3/2</sup>	$k_c$	n		
母	1.4	70.10	5.74	0.082	26	$X^2$ 检验	$V = 3.770$
	3.0	88.28	3.40	0.039	13	柯氏检验	$D_n = 0.2977$
	5.0	93.50	6.90	0.028	40	$X^2$ 检验	$V = 2.997$
材	7.0	80.00	2.60	0.033	16	柯氏检验	$D_n = 0.1322$
	焊	1.6	42.50	3.90	0.092	10	柯氏检验
板	3.0	49.40	3.30	0.067	10	柯氏检验	$D_n = 0.1344$
	5.0	67.40	5.51	0.082	13	柯氏检验	$D_n = 0.2490$
	6.0	68.02	5.42	0.076	23	柯氏检验	$D_n = 0.1570$
	3.8*	77.5	8.50	0.11	14	柯氏检验	$D_n = 0.1187$

2. 缺陷分布类型: 在某一典型的宇航容器上, 经自然存放一定时期后, 容器出现并增长了大小不等的28条裂纹, 其长度在6~70mm之间, 而裂纹深多数在0.5~1.0mm范围内, 于是, 我们假定裂纹为半椭圆表面裂纹, 其深长比为 $a/2c=0.1$ , 依此假定, 对裂纹深度 $a$ 进行统计分析。利用双参数指数分布规律来拟合, 并应用最大似然函数进行参数估计, 得

$$f(a) = 0.554 \exp[-0.501(a - 0.3)] \quad (5)$$

如图3示,可见,用双参数指数分布拟合是合理的。对钢的焊接容器,它的焊接缺陷分布特性,已有不少人做过讨论。指数分布做为焊接缺陷的分布规律似较合理<sup>[9][10]</sup>。这和我们的结论是一致的。

应该指出,上述某典型容器,制造后对检查出的裂纹并未铲除,因此,它仅在一定概率意义下存在。对正常生产的容器,都要进行无损检验。设可检概率为 $P_d$ (则漏检概率为 $1 - P_d$ ),那么,经正常加工、检验后的容器,存在裂纹尺寸的概率密度函数为

$$f(a) = 0.554 \exp[-0.501(a - 0.3)](1 - P_d) \quad (6)$$

当 $K_1 = K_c$ 时,由(2)式得:

$$a_c = \frac{\phi_0^2 K_c^2}{[(M_k M_p \sigma)^2 \pi]} = k K_c^2 \quad (7)$$

其中确定量 $k = \frac{\phi_0^2}{[(M_k M_p \sigma)^2 \pi]}$ ,  $\phi_0$ 为第二类全椭圆积分。因 $K_c$ 的概率密度函数 $\phi(K_c)$ 已求出,根据随机变量函数的分布密度公式可以求出:

$$\phi(a_c) = \frac{1}{2\sqrt{2k\pi a_c} \sigma_{K_c}} \exp\left[-\frac{1}{2}\left(\frac{\sqrt{a_c/k} - \mu_{K_c}}{\sigma_{K_c}}\right)^2\right] \quad (8)$$

#### 四、计算方法和步骤

用Monte Carlo法对(1)式进行数值模拟,这里采用平均值法。如计算积分:

$$I = \int_a^b f(x) dx \quad (9)$$

假定随机变量 $x$ 是 $(a, b)$ 之间均匀分布随机数。计算时,首先产生 $(a, b)$ 上的均匀分布随机数 $x_i (i=1, 2, \dots, n)$ 并计算平均值:

$$\bar{I} = \frac{1}{n} (b - a) \sum_{i=1}^n f(x_i) \quad (10)$$

根据柯尔莫哥洛夫强大数定理有

$$P(\lim_{n \rightarrow \infty} \bar{I} = I) = 1 \quad (11)$$

因此,当 $n$ 充分大时,下式

$$\bar{I} = I \quad (12)$$

成立的概率等于1。即可用 $\bar{I}$ 作为 $I$ 的估计值。

对其他分布的随机变量,采用相应的方法,由均匀分布随机数,变换为相应的随机变量。本文在计算中,采用混合同余法产生均匀分布随机数,即应用如下递推公式:

$$X_{n+1} = \lambda x_n + C (\text{mod } M) \quad (13)$$

$$n = 0, 1, 2, \dots$$

其中: $\lambda$ 是乘因子, $M$ 是模数, $C$ 是非负整数。通过适当选取参数 $C$ ,可以改善伪随机数的统计性质。当给定初始值 $x_0$ 之后,就可利用上式算出序列 $x_1, x_2, \dots, x_n, \dots$ ,再由

$$Z_n = x_n / M$$

即得到我们需要的伪随机数。

另外，本文在计算中，正态分布随机数是采用坐标变换法产生的；指数分布随机数是采用反函数法求得的。整个模拟过程在计算机上进行，计算程序略。

### 五、计算结果和讨论

计算结果见表 3 和图 4、5。从该结果可得如下结论：

表 3

破坏概率 缺陷可检 概率 Pd	应 力 (kg/mm <sup>2</sup> )						
	8.8	10.8	12.8	14.8	16.8	18.8	20.8
没检查 Pd = 0	$6.26 \times 10^{-4}$	$6.93 \times 10^{-3}$	$3.01 \times 10^{-2}$	$7.76 \times 10^{-2}$	$1.52 \times 10^{-1}$	$2.43 \times 10^{-1}$	$3.43 \times 10^{-1}$
Pd = 0.5	$3.13 \times 10^{-4}$	$3.46 \times 10^{-3}$	$1.51 \times 10^{-2}$	$3.88 \times 10^{-2}$	$7.62 \times 10^{-2}$	$1.22 \times 10^{-1}$	$1.71 \times 10^{-1}$
= 0.7	$1.88 \times 10^{-4}$	$2.08 \times 10^{-3}$	$9.04 \times 10^{-3}$	$2.33 \times 10^{-2}$	$4.57 \times 10^{-2}$	$7.29 \times 10^{-2}$	$1.03 \times 10^{-1}$
= 0.9	$6.26 \times 10^{-5}$	$6.93 \times 10^{-4}$	$3.01 \times 10^{-3}$	$7.76 \times 10^{-3}$	$1.52 \times 10^{-2}$	$2.43 \times 10^{-2}$	$3.43 \times 10^{-2}$
= 0.95	$3.13 \times 10^{-5}$	$3.46 \times 10^{-4}$	$1.51 \times 10^{-3}$	$3.88 \times 10^{-3}$	$7.61 \times 10^{-3}$	$1.22 \times 10^{-2}$	$1.71 \times 10^{-2}$
= 0.99	$6.26 \times 10^{-6}$	$6.93 \times 10^{-5}$	$3.01 \times 10^{-4}$	$7.76 \times 10^{-4}$	$1.52 \times 10^{-3}$	$2.43 \times 10^{-3}$	$3.43 \times 10^{-3}$

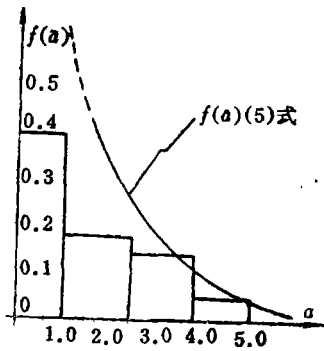


图 3 缺陷分布

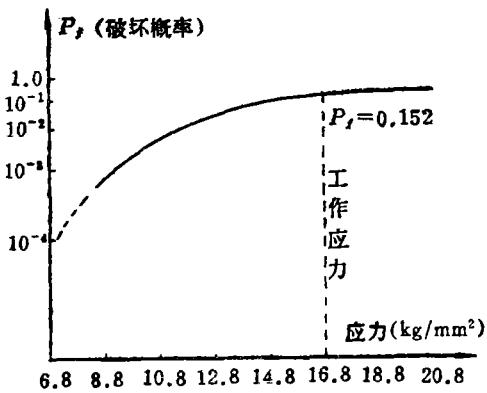


图 4 破坏概率随应力的变化

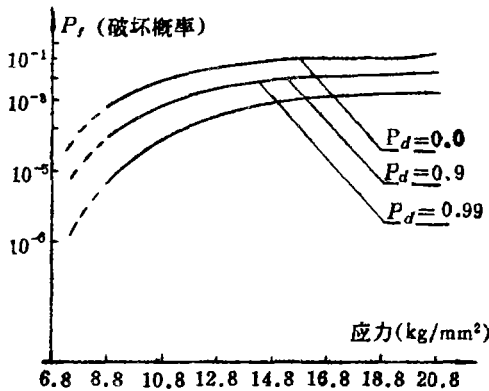


图 5 破坏概率随应力，可检概率的变化

1. 应力的偏差和无损检验技术的精度对容器的破坏概率有较大的影响。在工作应力下( $\sigma=16.8\text{kg/mm}^2$ ), 经过可靠的检验(如可检概率 $P_d=0.95$ ), 容器的破坏概率 $P_f$ 将比不检验下降约两个数量级。可见, 减小应力偏差(如减小焊接残余应力), 提高无损检验的精度是提高容器可靠度的重要措施。

2. 容器的破坏概率应限制在什么范围内, 尚无标准可查。从文献[7]的统计, 国外常规容器年破坏率约是 $10^{-4}$ 数量级, 按这种要求, 上述存在二十八条裂纹的容器, 可靠度偏低。因此, 对正式产品, 必须严格控制焊接缺陷或裂纹。

李应明同志曾做了本文的一些计算, 在此表示感谢。

### 参 考 文 献

- [1] Newman, J.C and Raju, I.S, NASA TP-1578 (1979).
- [2] Kobayashi, A.S and Moss, W.L, Proc. Second Int. Conf. on Fracture, 1969(P31).
- [3] 王亨等, 铝合金薄板表面裂纹弹塑性断裂测试中的两个实验技术, 国防科技大学学报, 1982年, 2期。
- [4] 王大方等, LD10CS铝合金焊接接头断裂韧性研究及其显微组织分析, 焊接学报, 5, 1(1984).
- [5] 岡村弘之, 信頼性と破壊力学, 第24回材料強度と破壊国内シンポジウム论文集。
- [6] 王长明等, 盛钢桶耳轴的断裂分析, 机械强度, 1982年3期。
- [7] Phillips, C.A.G, et al, A Survey of defects in pressure Vessels, UKAEA report AHSB(S)R162, HMSO, London(1968).
- [8] 中国科学院计算中心概率统计组, 概率统计计算, 科学出版社, 1979.
- [9] Marshall, W. An assessment of the integrity of PWR pressure Vessels. Report of UKAEA(1976).
- [10] Harrop, L.P, the extension and application of a simplified model for PWR type reactor pressure Vessel reliability, AERE-R9464, UKAEA Harwell(1979).

## Analysis of Probabilistic Fracture for Aerospace Pressure Vessel

Qin Zizeng

### Abstract

After the production of a typical vessel used to store test, many cracks in the welding seam have been observed. According to probabilistic fracture mechanics, the reliability of the pressure vessel is given by

$$R = 1 - \int_{-\infty}^{+\infty} f(a) da \int_0^a \phi(a_c) da_c$$

Our analysis of data from 165 samples has shown that the fracture toughness  $K_c$  obeys the normal distribution and the second type of exponential distribution for the crack sizes is better applicable to fit the data of crack sizes in a welding seam. The reliability is calculated by using Monte Carlo method.